

**ИЗМЕНЕНИЯ СТРУКТУРЫ ПОВЕРХНОСТИ  
И ЭЛЕМЕНТНОГО СОСТАВА Pd-СТЕРЖНЯ  
И СБОРНИКА ПРОДУКТОВ ЯДЕРНЫХ РЕАКЦИЙ  
ПРИ ОБЛУЧЕНИИ 10-МэВ  $\gamma$ -КВАНТАМИ  
В ПЛОТНОМ ДЕЙТЕРИИ**

*A. Ю. Дидык<sup>a,1</sup>, P. Вишневский<sup>b,2</sup>, T. Вилчинска-Китовска<sup>b</sup>*

<sup>a</sup> Объединенный институт ядерных исследований, Дубна

<sup>b</sup> Национальный центр ядерных исследований, Отвоцк, Польша

Камера высокого давления (DHPC) была заполнена молекулярным дейтерием при давлении примерно 1,2 кбар. Внутри DHPC находился насыщенный дейтерием палладиевый стержень. DHPC была облучена тормозными  $\gamma$ -квантами с энергией 10 МэВ в течение 18 ч на электронном ускорителе МТ-25 при токе пучка электронов 11–13 мА. После облучения элементный состав поверхностей всех элементов DHPC, находящихся в плотном дейтерии, был изучен с использованием сканирующей электронной микроскопии и рентгеновского микроэлементного зондового анализа. Установлено, что все поверхности, включая и поверхность особо чистого Pd-стержня (99,995 %), оказались покрыты более или менее однородным слоем свинца и крупными его микрочастицами. Помимо этого обнаружены наряду с легкими  $^{6}\text{C}$ ,  $^{8}\text{O}$ ,  $^{11}\text{Na}$ ,  $^{12}\text{Mg}$ ,  $^{13}\text{Al}$ ,  $^{14}\text{Si}$ ,  $^{22}\text{Ti}$ ,  $^{25}\text{Mn}$ ,  $^{26}\text{Fe}$ ,  $^{29}\text{Cu}$ ,  $^{30}\text{Zn}$  такие тяжелые металлы, как  $^{47}\text{Ag}$ ,  $^{73}\text{Ta}$ ,  $^{74}\text{W}$ ,  $^{78}\text{Pt}$ ,  $^{79}\text{Au}$  и  $^{82}\text{Pb}$ . Обсуждаются процессы, способные привести к обнаруженным аномалиям во вновь образовавшихся химических элементах.

A high-pressure chamber was filled with 1.2 kbar molecular deuterium (DHPC). The palladium rod saturated by deuterium was loaded inside the DHPC and irradiated with 10-MeV bremsstrahlung  $\gamma$  quanta during 18 h at 11–13  $\mu\text{A}$  electron beam using the MT-25 electron accelerator. The elemental compositions of all DHPC element surfaces which were inside dense deuterium gas were studied using scanning electronic microscopes with X-ray microprobe analysis. It was established that all surfaces including the surface of a high-purity palladium rod (99.995%) were covered by partly homogeneous layer or large microparticles of lead. Also, such light elements as  $^{6}\text{C}$ ,  $^{8}\text{O}$ ,  $^{11}\text{Na}$ ,  $^{12}\text{Mg}$ ,  $^{13}\text{Al}$ ,  $^{14}\text{Si}$ ,  $^{22}\text{Ti}$ ,  $^{25}\text{Mn}$ ,  $^{26}\text{Fe}$ ,  $^{29}\text{Cu}$ ,  $^{30}\text{Zn}$  and heavy metals as  $^{47}\text{Ag}$ ,  $^{73}\text{Ta}$ ,  $^{74}\text{W}$ ,  $^{78}\text{Pt}$ ,  $^{79}\text{Au}$  and  $^{82}\text{Pb}$  were observed. The possible processes which can cause the observed anomalies in the composition of new created chemical elements are discussed shortly.

PACS: 07.89.+b; 25.85.-w; 25.85.Jg

---

<sup>1</sup>E-mail: didyk@jinr.ru

<sup>2</sup>E-mail: roland.wisniewski@gmail.com

## ВВЕДЕНИЕ

В серии предыдущих статей были представлены результаты по изменению химического состава поверхностей компонентов, входящих в камеру высокого давлениядейтерия (DHPC) с Pd-стержнем внутри (см. рис. 1 в [3, 4]), при давлении дейтерия около 3 кбар с образованием радиационно-синтезированной структуры из химических элементов ( $^{16}\text{C}$ ,  $^{18}\text{O}$ ,  $^{23}\text{Al}$ ,  $^{28}\text{Si}$ ,  $^{40}\text{Ti}$ ,  $^{65}\text{Cu}$ ,  $^{65}\text{Zn}$ ), образовавшихся в результате ядерных реакций, инициированных  $\gamma$ -квантами с энергией  $\sim 9$  МэВ, в насыщенном дейтерием палладиевом стержне [1, 3, 4]. На основе обнаруженных изменений концентраций химических элементов была предложена феноменологическая модель ядерных реакций типа реакции Оппенгеймера [5] и им сопутствующих в капельной модели ядра при изменении вращательного момента [6–10].

Последующие исследования с тремя модифицированными камерами DHPC [7] при давлении дейтерия  $\sim 2$  кбар, в первую из которых были помещены стержни из Pd (один) и Re (три) [7], во вторую — V-стержень и стержень из нержавеющей стали [11], а в третью — целый набор стержней из Al (два), Cu (один), два образца из YMn<sub>2</sub> и никелевая проволока, были проведены под действием  $\gamma$ -квантов с энергией 23 МэВ, т. е. в диапазоне энергий  $\gamma$ -квантов, характерных для гигантского дипольного резонанса [4, 11] (см. также [12–14]).

Данная работа является развитием и продолжением эксперимента в [1, 3, 4] с целью выяснения зависимостей эффектов от величины давления дейтерия в DHPC, влияния интенсивности потока  $\gamma$ -квантов и набранного флюенса  $\gamma$ -квантов.

## 1. МЕТОДИКА ЭКСПЕРИМЕНТА

В камеру DHPC, как и в работах [1, 3, 4], был помещен Pd-стержень длиной 4 мм и диаметром 3,8 мм. Образец палладия имел высокую чистоту:  $\sim 99,995\%$ . Это значение было выбрано как наихудшее из 8 проведенных независимых измерений. При этом максимальные концентрации примесей (в ppm) следующие: Ag (< 3); Al (15); As (< 10); Au (48); Ba (0); Be (0); Bi (< 5); Ca (< 3); Cu (12); Fe (19); Ga (0); In (0); Ir (< 10); Mg (4); Mn (< 5); Ni (< 5); Pb (< 5); Pt (< 10); Rh (< 10); Ru (< 10); Sb (< 10); Si (< 10); Sn (< 10); Zn (< 3).

Давление молекулярного дейтерия в DHPC при облучении  $\gamma$ -квантами составляло  $P_{\text{D}_2} \cong 1,2$  кбар, что соответствует расчетному значению концентрации молекулярного газообразного дейтерия  $N_{\text{D}_2} \cong 1,476 \cdot 10^{22}$  мол.  $\text{D}_2/\text{cm}^3$  при его плотности  $\rho_{\text{D}_2} \cong 0,088$  г/см<sup>3</sup> [1, 3, 6]. DHPC была облучена тормозными  $\gamma$ -квантами с энергией 10 МэВ, полученными при прохождении пучка электронов на ускорителе МТ-25, через 3-мм  $W$ -тормозную фольгу и алюминиевый поглотитель толщиной 25 мм. Длительность облучения  $\gamma$ -квантами DHPC составила 18 ч при токе электронного пучка 11–13 мкА с диаметром пучка электронов на входе в  $W$ -тормозную фольгу примерно 6–8 мм.

Расчетная плотность потока  $\gamma$ -квантов на 1 мкА тока электронного пучка составляла  $Y \approx 7,5 \cdot 10^{12}$  МэВ<sup>-1</sup>·ср<sup>-1</sup>·мкА<sup>-1</sup>. Выход нейтронов и протонов из реакции фоторасщепления дейtronов  $d(\gamma, n)p$  под действием  $\gamma$ -квантов составлял  $Y_{n,p} \approx 0,8 \cdot 10^6$   $n, p \cdot \text{мкА}^{-1}$  (см. расчеты в [1, 3, 4, 6]).

Как и в первом эксперименте [1, 3, 4], после вскрытия DHPC Pd-стержень (см. рис. 1, поз. 9 в [3]) оказался зажатым внутренней латунной втулкой диаметром 4 мм (см. рис. 1,

поз. 8 в [3]) и был извлечен только после уменьшения его диаметра за счет процессов десорбции дейтерия.

## 2. РЕЗУЛЬТАТЫ ИССЛЕДОВАНИЙ СТРУКТУРЫ ПОВЕРХНОСТИ И РЕНТГЕНОВСКОГО МИКРОЭЛЕМЕНТНОГО ЗОНДОВОГО АНАЛИЗА ХИМИЧЕСКОГО СОСТАВА Pd-СТЕРЖНЯ

**2.1. РМЗА торца Pd-стержня** (см. рис. 1, поз. 9 в [3]), ближнего к входной диафрагме (см. рис. 1, поз. 4 в [3]). На рис. 1, *a* представлено СЭМ-изображение боковой поверхности Pd-стержня с выделением двух областей, в которых был проведен РМЗА, а на рис. 1, *б* — изображение другого участка поверхности Pd-стержня с измерением характеристического спектра рентгеновского излучения (ХСРИ) одной из светлых частиц (т. 3). В табл. 1 представлены распределения химических элементов в отмеченных на рис. 1, *a* областях (обл. 1 и обл. 2) и в светлой частице (т. 3) (рис. 1, *б*). Отметим, что в отраженных электронах при СЭМ-анализе более светлые участки соответствуют химическим элементам с большими порядковыми номерами (зарядами ядер).

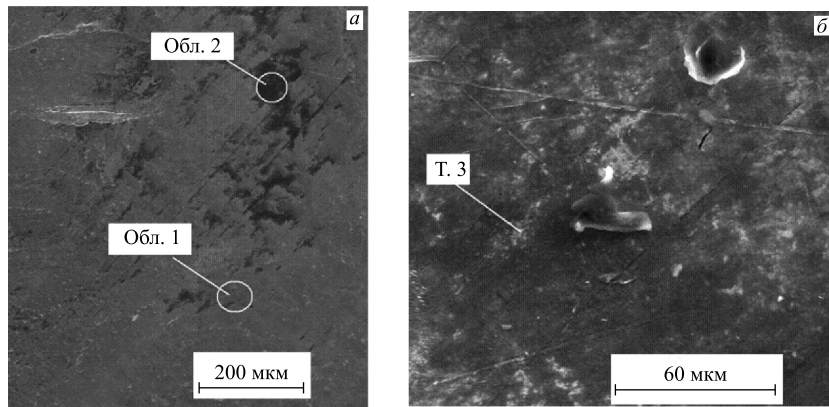


Рис. 1. СЭМ-изображения двух участков поверхности торца Pd-стержня, в которых был проведен РМЗА

**Таблица 1. Распределение химических элементов в выделенных областях торцевой поверхности Pd-стержня на рис. 1, *а, б***

Элемент	Z	Серия	C, вес. %	C, ат. %	ΔC, вес. %
Обл. 1					
Палладий	46	L	100	100	2,61
Обл. 2					
Палладий	46	L	79,21	38,49	2,15
Цинк	30	K	2,33	1,85	0,15
Кислород	8	K	18,46	59,66	3,07
T. 3					
Палладий	46	L	97,29	98,59	2,72
Свинец	82	L	2,71	1,41	0,24

Из табл. 1 видно, что на торцевой поверхности Pd-стержня исходное высокое содержание этого элемента сохранилось (см. обл. 1). На более темных участках поверхности произошло существенное изменение элементного состава (см. обл. 2). Измерения однозначно показали, что в светлых точках на поверхности (см. т. 3) найдено значительное количество свинца ( $_{82}\text{Pb}$ ). При этом в исходном тщательно промеренном палладии содержание свинца менее чем 5 ppm (т. е.  $< 5 \cdot 10^{-6}$  г/г).

На рис. 2 представлены изображения двух других участков торцевой части поверхности Pd-стержня, а в табл. 2 — распределение химических элементов в них.

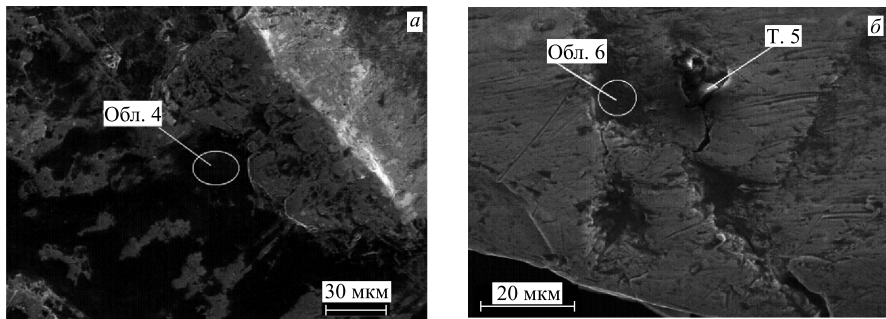


Рис. 2. СЭМ-изображения поверхности участка ближе к центру (а) и краю (б) торца Pd-стержня с указанием областей и точки, в которых был проведен РМЗА

**Таблица 2. Распределение химических элементов в обл. 4 (рис. 2, а) и т. 5, обл. 6 (рис. 2, б) на торцевой поверхности Pd-стержня**

Элемент	Z	Серия	C, вес.%	C, ат.%	$\Delta C$ , вес.%
Обл. 4					
Палладий	46	L	72,77	30,36	1,93
Цинк	30	K	1,29	0,88	0,09
Медь	29	K	3,58	2,50	0,14
Кислород	8	K	17,76	49,29	2,33
Углерод	6	K	4,59	16,97	0,68
Т. 5					
Палладий	46	L	4,78	0,95	0,16
Титан	22	K	1,63	0,72	0,07
Алюминий	13	K	55,09	43,03	2,13
Кислород	8	K	27,95	36,81	3,12
Углерод	6	K	10,54	18,50	1,81
Обл. 6					
Свинец	82	L	5,38	1,11	0,30
Палладий	46	L	63,11	25,40	1,89
Цинк	30	K	1,67	1,09	0,10
Марганец	25	K	0,98	0,76	0,07
Кремний	14	K	0,39	0,59	0,05
Алюминий	13	K	4,76	7,55	0,25
Кислород	8	K	23,71	63,49	3,25

Отметим, что, как и в ранее полученных результатах при изучении Pd-стержня, в образце присутствуют цинк, медь, титан, кремний и алюминий. При этом обнаружено, что в т. 5 (рис. 2, б) концентрация алюминия весьма высокая (55,09 вес. % и 43,03 ат. %) с одновременным присутствием титана (1,63 вес. % и 0,72 ат. %). Как и в работах [1, 3, 4], титан ранее был обнаружен в больших количествах в синтезированной при облучении структуре. Следует отметить, что в обл. 6 (рис. 2, б) выявлено, как и выше (см. табл. 1, рис. 1, б, т. 3), значительное количество свинца (5,38 вес. % и 1,11 ат. %).

На рис. 3, а, б представлены СЭМ-изображения двух выбросов из объема Pd-стержня по радиусу, в сторону стенки латунной втулки (см. рис. 1, поз. 8 в [3]), значительных размеров в виде пластинчатых «гребней» длиной более 30 мкм и высотой около 5 мкм с указанием точки (т. 7) и области (обл. 8), в которых выполнен РМЗА. *Важно отметить, что эти СЭМ-исследования были проведены в двух институтах на двух различных микроскопах.* В табл. 3 и 4 представлены распределения химических элементов в отмеченных т. 7 и обл. 8.

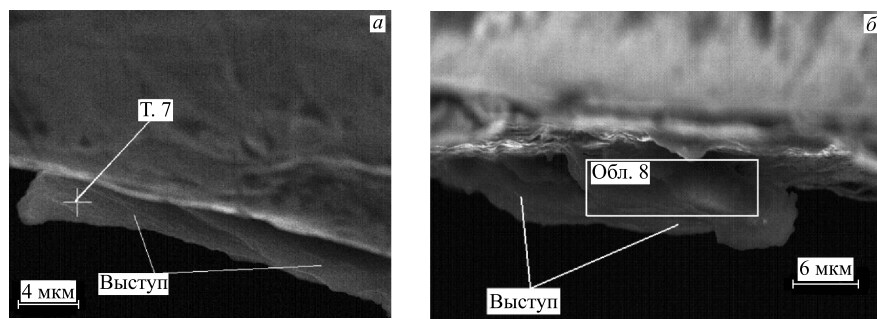


Рис. 3. СЭМ-изображения выбросов из объема Pd-стержня по радиусу, в сторону стенки латунной втулки, с указанием точки (а) и области (б), в которых был проведен РМЗА

**Таблица 3. Распределение химических элементов в застывшем выбросе (рис. 3, а, т. 7) с торцевой поверхности Pd-стержня**

Элемент	Z	Серия	C, вес. %	C, ат. %	ΔC, вес. %
Свинец	82	L	1,09	0,09	0,15
Палладий	46	L	20,29	3,16	0,69
Медь	29	K	0,24	0,06	0,05
Титан	22	K	0,20	0,07	0,04
Кремний	14	K	0,32	0,19	0,04
Алюминий	13	K	3,64	2,24	0,21
Магний	12	K	0,02	0,02	0,00
Натрий	11	K	0,11	0,08	0,04
Кислород	8	K	23,47	24,30	3,47
Углерод	6	K	50,60	69,80	6,24

Как видно из табл. 3, в этом застывшем выбросе присутствуют, как и ранее [1, 3, 4], преимущественно легкие химические элементы, такие как углерод (69,80 ат. %), кислород (24,30 ат. %) и алюминий (2,24 ат. %). Обнаружен и свинец (1,09 вес. %).

Из табл. 4 видно, что в выбросе присутствуют элементы от  $^{80}\text{O}$  до  $^{30}\text{Zn}$  при относительно малой концентрации основного элемента  $^{46}\text{Pd}$  (только 3,54 ат. %), полученные с

**Таблица 4.** Распределение химических элементов в застывшем выбросе (рис.3, б, обл. 8) с торцевой поверхности Pd-стержня

Элемент	C, ат. %	Элемент	C, ат. %	Элемент	C, ат. %
<sup>8</sup> O	42,45	<sup>16</sup> S	1,10	<sup>29</sup> Cu	0,35
<sup>11</sup> Na	2,61	<sup>17</sup> Cl	2,35	<sup>30</sup> Zn	0,29
<sup>12</sup> Mg	0,51	<sup>19</sup> K	1,51	<sup>46</sup> Pd	3,54
<sup>13</sup> Al	43,32	<sup>20</sup> Ca	0,93		
<sup>14</sup> Si	0,88	<sup>26</sup> Fe	0,18		

участка, площадь которого равна  $15,6 \times 5,3$  мкм. В то же время имеется значительное количество <sup>13</sup>Al (43,32 ат. %). Здесь следует отметить: толщина выступов может быть такой, что электронный пучок может проходить насквозь, возбуждая частично и подложку из алюминия. Но в данном случае этого не было.

**2.2. Исследование структуры боковой поверхности Pd-стержня и РМЗА элементного состава.** На рис. 4 представлено СЭМ-изображение участка боковой поверхности Pd-стержня с выделенной областью размером  $\sim 790 \times 480$  мкм, а в табл. 5 приведено распределение химических элементов в ней. Из анализа ХСРИ<sup>1</sup> можно сделать вывод, что все линии спектра, соответствующие свинцу (<sup>82</sup>Pb), присутствуют.

На рис. 5 представлено СЭМ-изображение, сделанное в отраженных электронах вдоль трещины на боковой поверхности Pd-стержня, со светлыми участками, соответствующими тяжелым элементам, на которых был проведен РМЗА. В табл. 6 приведены распреде-

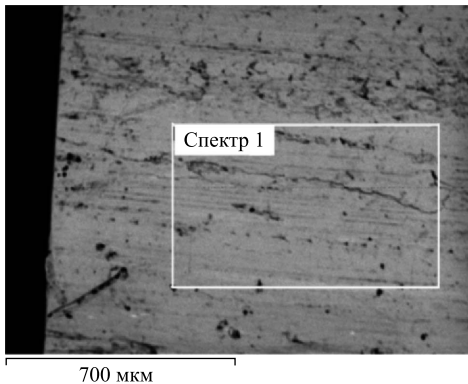


Рис. 4. СЭМ-изображение участка боковой поверхности Pd-стержня с выделенной областью, в которой был проведен РМЗА

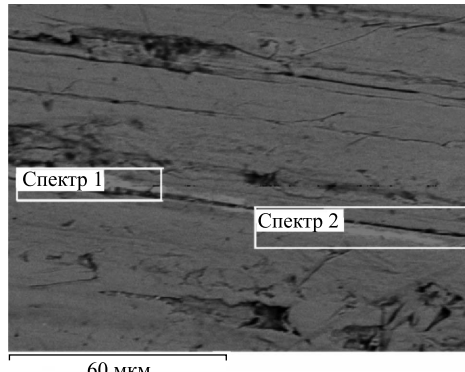


Рис. 5. СЭМ-изображение участка боковой поверхности Pd-стержня вдоль трещины на поверхности со светлыми участками, на которых проведен РМЗА

**Таблица 5.** Распределение химических элементов в указанной на рис. 4 области ( $790 \times 480$  мкм) (в вес. %)

Спектр	<sup>8</sup> O	<sup>12</sup> Mg	<sup>13</sup> Al	<sup>26</sup> Fe	<sup>46</sup> Pd	<sup>82</sup> Pb
1	7,88	0,30	0,54	0,30	88,41	2,56

<sup>1</sup>В большинстве случаев ХСРИ не представлены. Они приводятся только тогда, когда важно показать наличие основных линий тяжелых элементов.

**Таблица 6. Распределение химических элементов в двух областях, обозначенных на рис.5 (в вес. %)**

Спектр	$^{16}\text{O}$	$^{13}\text{Al}$	$^{29}\text{Cu}$	$^{46}\text{Pd}$	$^{78}\text{Pt}$	$^{82}\text{Pb}$
1	7,16	0,84	0,36	81,53	8,76	1,35
2	4,45	0,50	—	87,44	6,25	1,36

деления химических элементов в указанных на рис.5 областях размерами  $40 \times 9,7$  и  $58 \times 11,5$  мкм.

Из приведенных данных видно, что на отмеченных участках вдоль протяженной трещины в спектрах 1 и 2 (см. табл. 6, рис. 5) присутствуют характеристические рентгеновские линии таких элементов, как платина ( $^{78}\text{Pt}$ ) и свинец ( $^{82}\text{Pb}$ ).

В СЭМ-исследованиях при регистрации отраженных электронов участки поверхности, где обнаружены элементы с большими атомными номерами, имеют более светлый оттенок, как отчетливо видно на рис. 6. Проведен РМЗА участка размером  $\approx 14,3 \times 7,1$  мкм (спектр 2) и в точке (спектр 1) соответственно.

В табл. 7 представлены распределения химических элементов в спектрах 1 и 2 (см. рис. 6).

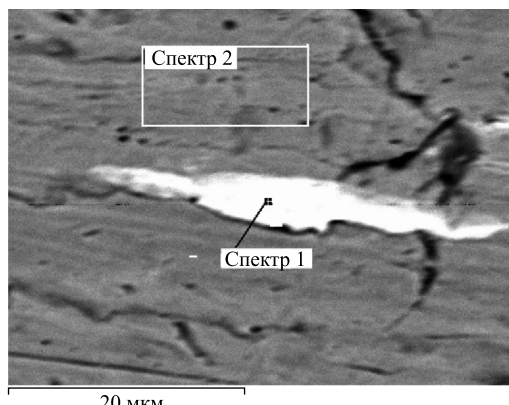


Рис. 6. СЭМ-изображение участка боковой поверхности Pd-стержня размером  $14,3 \times 7,1$  мкм и отдельно взятой точки, в которых был проведен РМЗА

**Таблица 7. Распределение химических элементов в спектрах 1 и 2 на рис.6 (в вес. %)**

Спектр	$^{13}\text{Al}$	$^{29}\text{Cu}$	$^{31}\text{Ga}$	$^{46}\text{Pd}$	$^{78}\text{Pt}$	$^{79}\text{Au}$	$^{82}\text{Pb}$
1	—	0,95	—	28,85	66,64	1,97	1,59
2	0,37	0,81	0,11	96,74	1,29	—	0,68

Особо следует отметить, что в промеренной области (спектр 1) в районе протяженной трещины на поверхности отчетливо виден растекшийся и застывший участок, в котором присутствуют тяжелые элементы, такие как  $^{78}\text{Pt}$  (66,64 вес. %),  $^{79}\text{Au}$  (1,97 вес. %) и  $^{82}\text{Pb}$  (1,59 вес. %)! Более светлая область имеет протяженность длиной  $\sim 35,9$  мкм и шириной, максимальной по ширине части,  $\sim 4,8$  мкм.

Такие же светлые участки встречаются вблизи развившихся трещин и других, вновь созданных облучением дефектов на боковой поверхности Pd-стержня.

Это свидетельствует о том, что в местах со значительными изменениями структуры поверхности палладия, насыщенного дейтерием, во время облучения  $\gamma$ -квантами происходит локальное изменение элементного состава. Причиной такого изменения могут быть только ядерные реакции. Их инициаторами являются нейтроны и протоны, возникающие при фоторасщеплении дейтерия ( $\gamma + d \rightarrow n + p$ ), и реакция Оппенгеймера [5]. В свою очередь, эти частицы, бомбардируя ядра палладия  $^{46}\text{Pd}$ , вызывают их асимметричное деление на два осколка [8–10]. Известна работа, в которой наблюдалось деление  $^{44}\text{Ru}$  на осколки. Этим можно объяснить появление легких ядер, таких как  $^{6}\text{C}$ ,  $^{8}\text{O}$ ,  $^{11}\text{Na}$ ,  $^{12}\text{Mg}$ ,  $^{13}\text{Al}$  и др., включая и летучие изотопы, а также более тяжелых:  $^{24}\text{Cr}$ ,  $^{25}\text{Mn}$ ,  $^{26}\text{Fe}$ ,  $^{29}\text{Cu}$ ,  $^{30}\text{Zn}$ ,  $^{31}\text{Ga}$ . Вызывают удивление два обстоятельства: аномально большой выход этих элементов и локальный характер их появления. Еще более удивительно появление тяжелых элементов  $^{78}\text{Pt}$ ,  $^{79}\text{Au}$ ,  $^{82}\text{Pb}$ . В обсуждении результатов и выводах предлагается гипотетическое объяснение этого явления.

**2.3. РМЗА дальнего от входной диафрагмы торца Pd-стержня.** Приведем результаты по исследованию элементного состава и структуры поверхности противоположного торца Pd-стержня, удаленного от места входа  $\gamma$ -квантов. На рис. 7 представлены СЭМ-изображения двух участков поверхности правого торца Pd-стержня размерами  $82,9 \times 92,7$  мкм (спектр 1) и  $68,3 \times 70,7$  мкм (спектр 2) (a) и трех точек (б), в которых был сделан РМЗА.

В табл. 8 приведены концентрации химических элементов, измеренные с помощью РМЗА, в выделенных участках и точках на рис. 7, a и б.

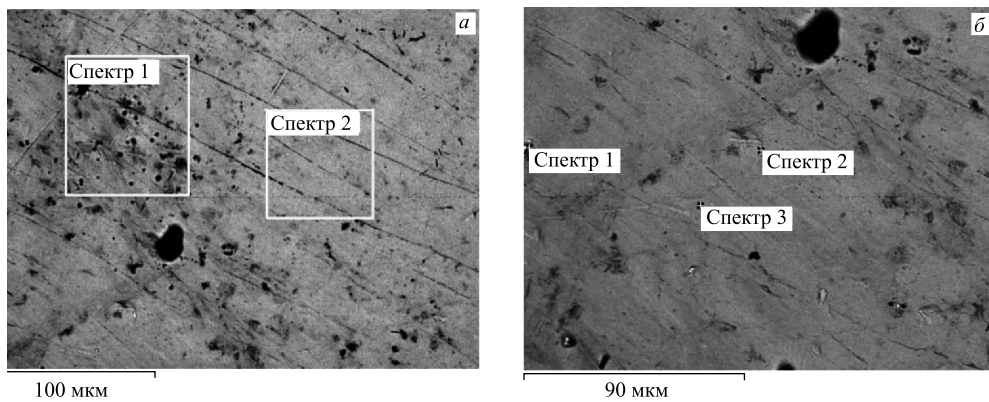


Рис. 7. СЭМ-изображения участков поверхности правого торца Pd-стержня с выделением двух областей (a) и трех точек (б), где сделан РМЗА

Таблица 8. Элементный состав, полученный в двух областях на рис. 7, a и трех точках на рис. 7, б (в вес. %)

Спектр	$^{6}\text{C}$	$^{8}\text{O}$	$^{13}\text{Al}$	$^{14}\text{Si}$	$^{30}\text{Zn}$	$^{46}\text{Pd}$	$^{82}\text{Pb}$
Рис. 7, a							
1	0,93	13,53	0,46	0,46	0,91	83,72	—
2	0,16	4,33	0,50	—	—	95,02	—
Рис. 7, б							
1	—	16,07	0,66	—	1,48	43,22	38,57
2	—	—	0,50	0,32	—	99,18	—
3	—	—	0,36	0,21	—	99,42	—

На рис. 8, *a*, *b* представлены СЭМ-изображения двух участков поверхности правого торца Pd-стержня. На рис. 8, *a* выделены три области: 143 × 138 мкм (спектр 1), 194 × 198 мкм (спектр 2) и 120 × 106 мкм (спектр 3), в которых проведен РМЗА. На рис. 8, *b* приведена весьма своеобразная структура «пятнистого» типа с выделением двух областей — 17,1 × 19,6 мкм (спектр 1) и 13,5 × 16,5 мкм (спектр 3) — и двух точек (спектры 2 и 4), в которых был сделан РМЗА. В табл. 9 приведены концентрации химических элементов в выделенных областях и точках на рис. 8, *a*, *b*.

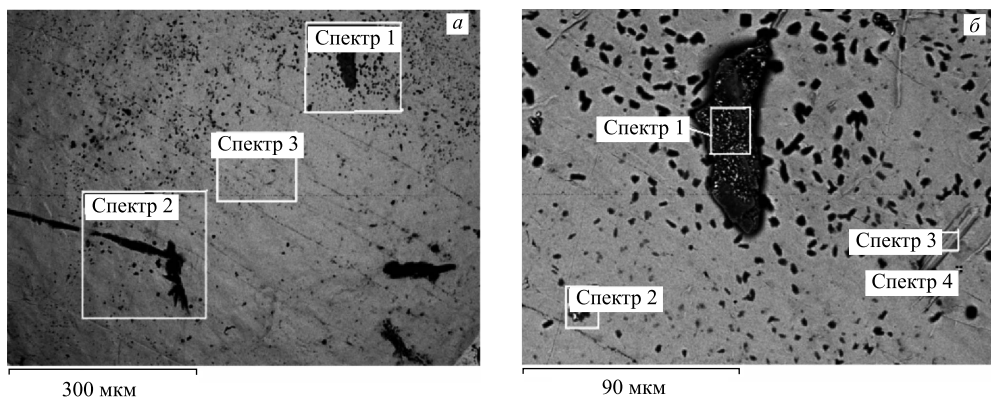


Рис. 8. СЭМ-изображения двух участков поверхности правого торца Pd-стержня в которых был сделан РМЗА

**Таблица 9. Концентрации элементов в трех выделенных областях рис. 8, *a* и двух выделенных областях и двух точках на рис. 8, *b* (в ат. %)**

Спектр	<sup>8</sup> O	<sup>13</sup> Al	<sup>14</sup> Si	<sup>26</sup> Fe	<sup>29</sup> Cu	<sup>30</sup> Zn	<sup>46</sup> Pd	<sup>82</sup> Pb
Рис. 8, <i>a</i>								
1	51,28	0,56	0,50	—	2,42	0,30	44,93	—
2	49,33	0,79	0,57	—	—	—	49,31	—
3	28,51	0,94	0,79	—	—	—	69,76	—
Рис. 8, <i>b</i>								
1	43,39	0,82	—	0,38	29,48	18,29	3,16	4,48
2	46,97	0,84	0,48	—	—	2,8	48,25	0,66
3	33,93	1,18	0,8	—	—	—	64,09	—
4	—	1,31	0,77	—	—	—	97,92	—

В данном случае две области на рис. 8, *b* выглядят темными (спектры 1 и 2) из-за наличия в них значительных концентраций меди (29,48 ат. %) и цинка (18,29 ат. %), несмотря на присутствие более тяжелого элемента, чем палладий (<sup>46</sup>Pd), — свинца (<sup>82</sup>Pb) (4,48 ат. %).

На рис. 9, *a* представлено СЭМ-изображение участка темного цвета, показанного на рис. 8, *b*; этот же участок при большем увеличении см. на рис. 9, *b*. РМЗА был проведен в двух точках, результаты которого представлены в табл. 10.

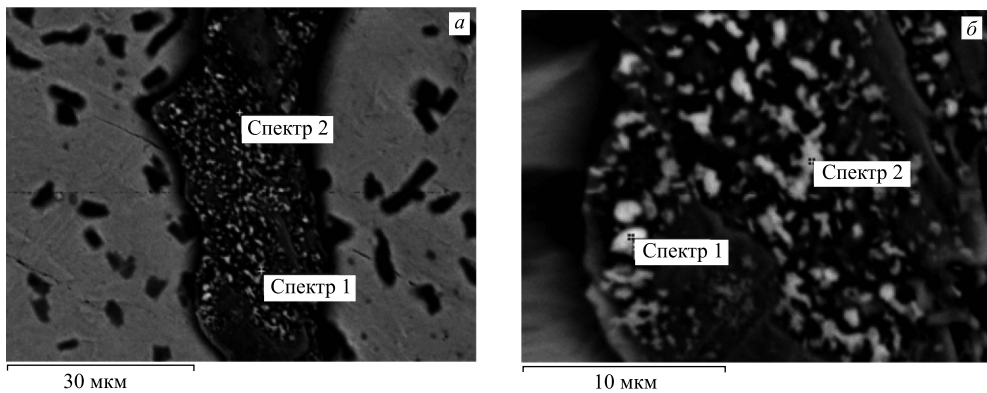


Рис. 9. СЭМ-изображения участка поверхности правого торца Pd-стержня с выделением двух точек, в которых был сделан РМЗА, с разными увеличениями

**Таблица 10. Концентрации элементов в выделенных точках на рис. 9, а (в ат. %), б (в вес. %)**

Спектр	$^{16}\text{O}$	$^{27}\text{Al}$	$^{35}\text{Cl}$	$^{56}\text{Fe}$	$^{63}\text{Cu}$	$^{65}\text{Zn}$	$^{107}\text{Pd}$	$^{208}\text{Pb}$	Cu/Zn
Рис. 9, а									
1	60,82	0,77	—	—	14,99	9,17	2,28	11,96	1,63
2	32,52	—	0,54	0,44	35,28	25,81	3,22	2,2	1,37
Рис. 9, б									
1	21,59	0,46	—	0,37	10,63	5,58	13,0	48,36	1,91
2	18,57	0,32	—	—	19,57	12,22	3,78	45,55	1,60

Из табл. 10 видно (см. рис. 9, а), что в т. 2 (спектр 2) присутствует значительное количество меди (35,28 ат. %) и цинка (25,81 ат. %). Помимо этих элементов в т. 1 (спектр 1) обнаружено до 11,96 ат. % свинца.

Поэтому в данном случае РМЗА был проведен с целью более точной оценки концентрации свинца в отдельно взятых светлых точках (спектры 1 и 2), которые отчетливо видны на рис. 9, б.

Как видно из табл. 10, в этих новообразованиях присутствует свинец в больших количествах (48,36 и 45,55 вес. %), а также значительное количество меди (10,63 и 19,57 вес. %) и цинка (5,58 и 12,22 вес. %), концентрации основного элемента — палладия — относительно низкие (13,00 и 3,78 вес. %). Наличие кислорода (21,59 и 18,57 вес. %) позволяет предположить, что свинец присутствует в виде оксида.

На рис. 10, а представлены СЭМ-изображения участка поверхности вблизи края торца Pd-стержня (темные части изображения справа) с РМЗА в трех областях: светлого цвета (спектр 1), темного (спектр 2) и «переходного» (спектр 3). Результаты РМЗА представлены в табл. 11.

Как видно из таблицы, на светлом участке присутствуют в достаточно больших количествах палладий (71,37 вес. %) и свинец (14,16 вес. %), на «переходном» участке содержится также много палладия (86,30 вес. %) и свинца (6,15 вес. %), а на участке темного цвета — цинк (30,91 вес. %), кислород (30,00 вес. %), относительно мало палладия (21,96 вес. %) и по-прежнему достаточно много свинца (14,05 вес. %).

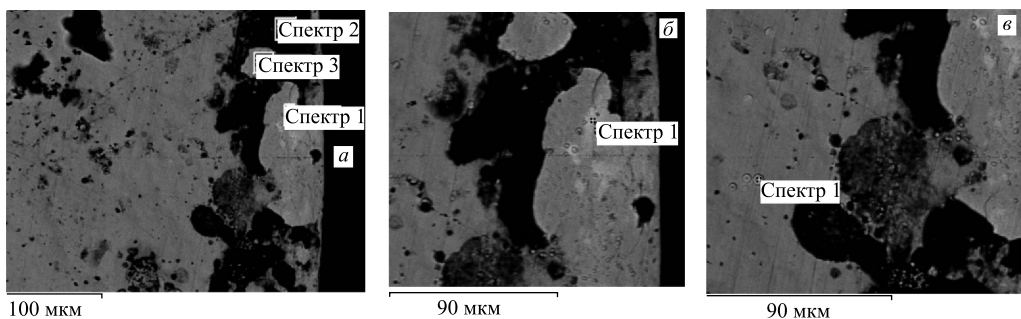


Рис. 10. СЭМ-изображения участка поверхности вблизи края торца Pd-стержня (темные части изображения справа (*a*, *б*) с РМЗА в трех областях); то же при большем увеличении (*в*)

**Таблица 11. Концентрации элементов в выделенных областях на рис. 10, *а* и в отмеченных точках на рис. 10, *б* (вес. %)**

Спектр	$^{16}\text{O}$	$^{13}\text{Al}$	$^{19}\text{K}$	$^{20}\text{Ca}$	$^{24}\text{Mn}$	$^{26}\text{Fe}$	$^{29}\text{Cu}$	$^{30}\text{Zn}$	$^{46}\text{Pd}$	$^{82}\text{Pb}$
Рис. 10, <i>а</i>										
1	6,57	0,36	—	—	—	—	7,55	—	71,37	14,16
2	30,00	0,49	—	—	—	0,86	1,75	30,91	21,96	14,05
3	4,00	0,34	—	—	—	—	2,85	0,36	86,3	6,15
Рис. 10, <i>б</i>										
1	8,32	0,42	—	—	—	—	7,84	1,47	60,47	21,49
Рис. 10, <i>в</i>										
1	22,45	0,37	0,38	0,38	0,76	—	—	1,79	12,85	61,02

При проведении исследований структуры поверхности торца Pd-стержня были обнаружены своеобразные кратеры (hollows) или выступы (hillocks). На рис. 11 представлено СЭМ-изображение поверхности с выделением четырех точек, в которых был выполнен РМЗА. Химический элементный состав в этих точках приведен в табл. 12.

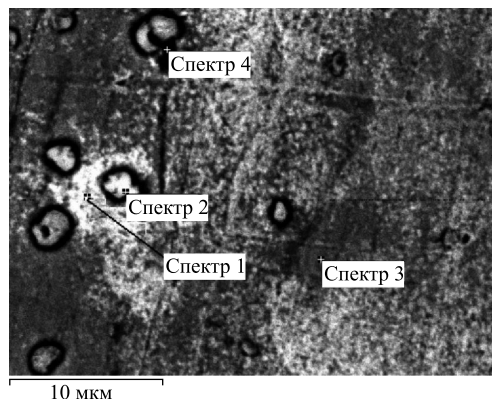


Рис. 11. СЭМ-изображение поверхности торца Pd-стержня со структурами типа кратеров или выступов. РМЗА был проведен в четырех выделенных точках

Таблица 12. Концентрации элементов в точках, отмеченных на рис. 11 (в вес. %)

Спектр	<sup>8</sup> O	<sup>13</sup> Al	<sup>29</sup> Cu	<sup>30</sup> Zn	<sup>35</sup> Br	<sup>46</sup> Pd	<sup>82</sup> Pb
1	9,38	0,38	10,63	1,96	—	53,35	24,30
2	19,30	0,40	4,67	1,71	—	11,61	62,31
3	3,80	0,27	7,19	—	—	85,22	3,53
4	19,68	—	6,44	13,90	0,47	51,58	7,93

Как видно из табл. 12, в наиболее светлых точках непосредственно в кратере (спектр 2) РМЗА выявляет концентрации свинца 62,31 вес. % и палладия 11,61 вес. %, а из потоков «лавы» вокруг кратера (спектр 1) — концентрации свинца 24,30 вес. %, палладия 53,35 вес. %, меди 10,63 вес. %.

На рис. 12 представлены СЭМ-изображения похожих участков поверхности торца Pd-стержня. На рис. 12, *a* РМЗА проводился как на светлых, так и на темных участках, а на рис. 12, *б* — только на светлых круглых образованиях.

Результаты этого анализа представлены в табл. 13.

Как и было установлено выше, круглые образования светлого цвета состоят в основном из свинца (65,53 и 62,59 вес. %). Обращает на себя внимание тот факт, что в местах скопления свинца присутствуют также медь, цинк и другие сопутствующие химические элементы.

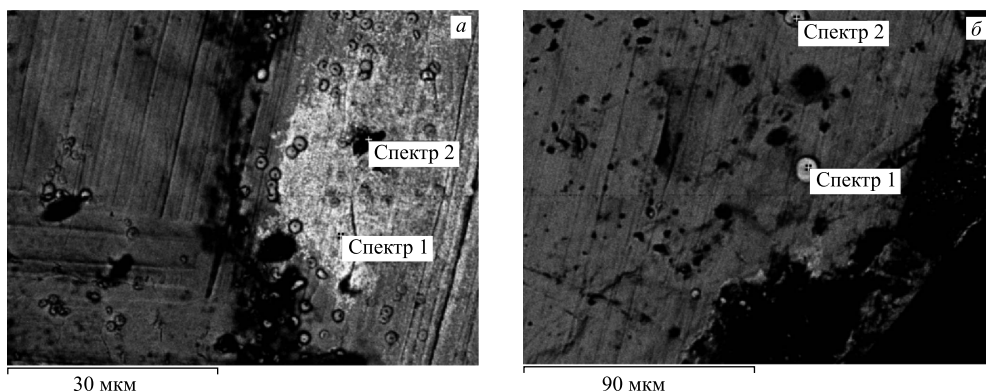


Рис. 12. СЭМ-изображения участков поверхности торца Pd-стержня с РМЗА как светлых, так и темных участков (*a*) и светлых образований (*б*)

Таблица 13. Концентрации элементов в светлых и темных участках рис. 12, *a* и в светлых образованиях рис. 12, *б* (в вес. %)

Спектр	<sup>8</sup> C	<sup>8</sup> O	<sup>13</sup> Al	<sup>14</sup> Si	<sup>20</sup> Ca	<sup>24</sup> Mn	<sup>26</sup> Fe	<sup>29</sup> Cu	<sup>30</sup> Zn	<sup>45</sup> Rh	<sup>46</sup> Pd	<sup>82</sup> Pb
Рис. 12, <i>a</i>												
1	—	8,62	—	—	—	—	0,32	5,50	2,78	—	61,6	21,18
2	8,38	14,36	0,44	26,19	—	—	0,44	1,50	6,66	—	31,05	10,98
Рис. 12, <i>б</i>												
1	—	18,97	0,26	—	—	—	0,60	1,55	1,07	12,03	65,53	
2	18,84	18,84	0,25	—	0,34	0,84	—	0,49	1,29	—	15,36	62,59

Из рис. 11, 12 и табл. 12, 13 можно предположить, что измеренные высокие концентрации свинца на всех внутренних поверхностях элементов DHPC (см. [15, 16]) были выделены из своеобразных кратеров (hollows) или выступов (hillocks) на поверхности палладия.

### 3. РЕЗУЛЬТАТЫ ИССЛЕДОВАНИЙ СТРУКТУРЫ ПОВЕРХНОСТИ И РЕНТГЕНОВСКОГО МИКРОЭЛЕМЕНТНОГО ЗОНДОВОГО АНАЛИЗА ХИМИЧЕСКОГО СОСТАВА ЛАТУННОГО СБОРНИКА СИНТЕЗИРОВАННЫХ ПРОДУКТОВ РЕАКЦИЙ ВНУТРИ DHPC

На рис. 13, *a*, *b* представлены СЭМ-изображения поверхности латунного сборника с синтезированными продуктами реакций (см. также рис. 1, поз. 12 в [3]). Даже при малом увеличении ( $\times 18$ ) видны микрочастицы, которые покрывают всю поверхность сборника, но сконцентрированы преимущественно ближе к краям, образуя кольцо с внешним диаметром 5 мм и внутренним диаметром примерно 2,7 мм.

На рис. 14, *a*, *b* приведены СЭМ-изображения двух характерных образований, состоящих из отдельных микрочастиц, на поверхности латунного сборника. На рис. 14, *a* видна кольцевая область, в которой проводился РМЗА в двух взятых областях и двух точках,

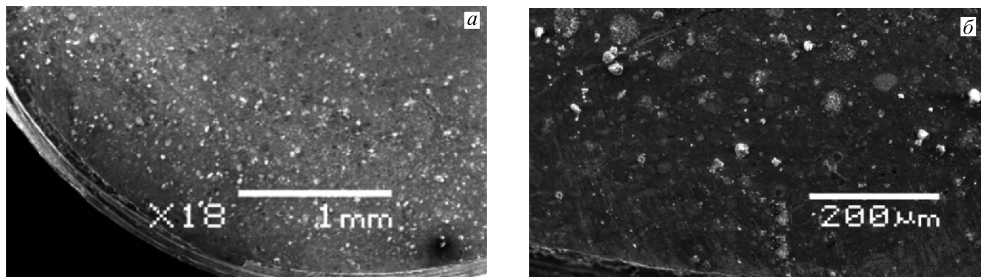


Рис. 13. СЭМ-изображения поверхности латунного сборника с синтезированными продуктами реакций (светлые точки)

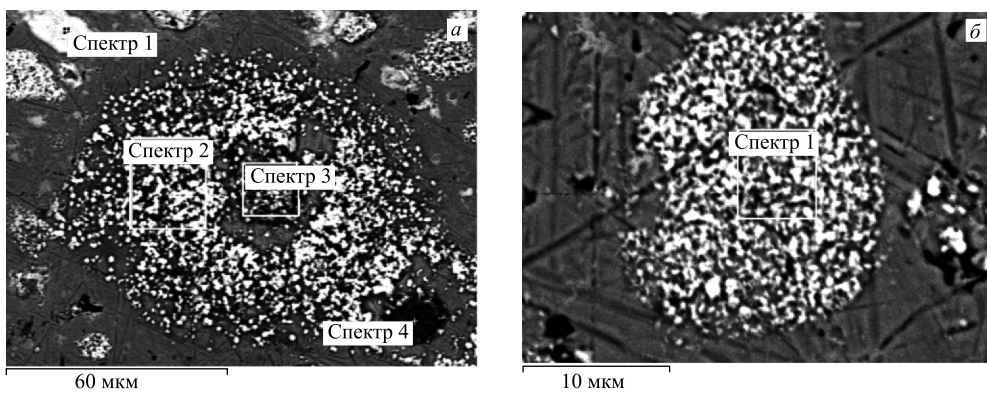


Рис. 14. СЭМ-изображения двух характерных образований — кольцевого (*a*) и эллиптического (*b*) вида, которые покрывают поверхность латунного сборника

а на рис. 14, б — другое образование эллиптического вида, РМЗА проводился в одной точке. В табл. 14 представлены элементные составы в этих точках (см. пояснения к рис. 15, а).

Из табл. 14 видно: концентрация свинца весьма высокая, доходит до 67,37 вес. %, при этом присутствуют кальций (0,48 вес. %) и железо (1,51 вес. %). А отношение концентраций меди к цинку ( $\text{Cu}/\text{Zn}$ ) изменяется от 0,089 до 1,973, что явно не соответствует исходному отношению для латуни.

**Таблица 14. Распределение химических элементов в выделенных на рис. 14, а двух областях (спектры 2 и 3) и двух точках (спектры 1 и 4), а также в точке, отмеченной на рис. 14, б (в вес. %)**

Спектр	$^{6}\text{C}$	$^{8}\text{O}$	$^{20}\text{Ca}$	$^{26}\text{Fe}$	$^{29}\text{Cu}$	$^{30}\text{Zn}$	$^{46}\text{Pb}$	$\text{Cu}/\text{Zn}$
Рис. 14, а								
1	9,02	17,61	—	—	2,22	3,79	67,37	0,586
2	13,79	17,23	—	0,80	17,25	9,1	41,83	1,896
3	15,82	20,72	0,48	1,51	6,87	10,35	44,25	0,664
4	13,53	26,18	0,44	1,03	2,24	25,08	31,5	0,089
Рис. 14, б								
1	15,24	10,79	—	—	34,98	17,73	21,26	1,973

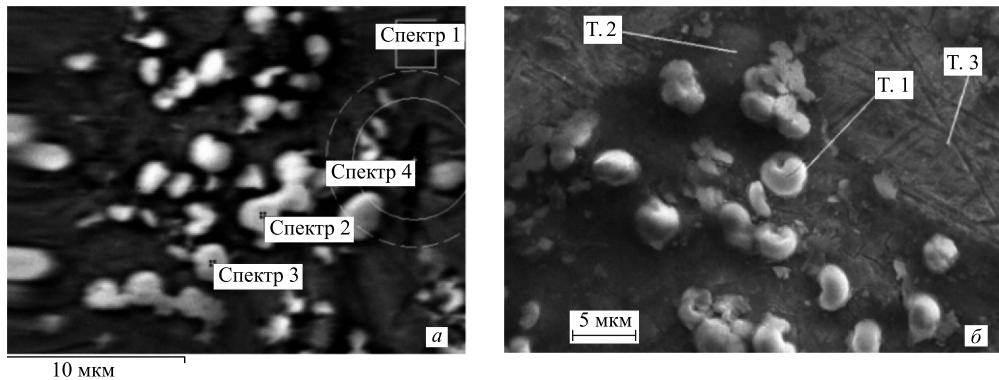


Рис. 15. СЭМ-изображения поверхности латунного сборника с микрообразованиями, из которых состоят объединения более крупных структур (а), то же при большем увеличении (б)

На рис. 15, а, б представлены СЭМ-изображения микрообразований, из которых состоят объединения более крупных структур, сходных по типу представленным на рис. 14, а, б, и одиночных мелких структур. РМЗА проведен в выделенной области и трех точках на рис. 15, а и в трех точках на рис. 15, б. В табл. 15 представлены результаты этого анализа.

Из табл. 15 видно, что яркие белые гранулы на рис. 15, а в весовом отношении состоят преимущественно из свинца (70,19 и 65,15 вес. %). При этом размер частиц и толщина нанесенного на поверхность латунного сборника слоя этих частиц такова, что даже подложка, состоящая из латуни, слабо просматривается, так как концентрации меди 6,27 и 8,18 вес. % и цинка 3,37 и 4,12 вес. %.

Таблица 15. Распределение химических элементов в выделенных на рис. 15, а двух областях и двух точках, а также в трех точках на рис. 15, б (в вес. %)

Спектр, точка	$^{6}\text{C}$	$^{8}\text{O}$	$^{14}\text{Si}$	$^{29}\text{Cu}$	$^{30}\text{Zn}$	$^{46}\text{Pb}$	$\text{Cu/Zn}$
Рис. 15, а							
Спектр 1	10,14	2,85	—	52,95	32,33	1,72	1,638
Спектр 2	8,29	11,88	—	6,27	3,37	70,19	1,861
Спектр 3	9,99	12,56	—	8,18	4,12	65,15	1,985
Спектр 4	20,87	4,72	10,98	40,54	18,47	4,4	2,195
Рис. 15, б							
Точка 1	6,32	17,38	—	6,65	4,57	65,08	1,455
Точка 2	20,43	9,54	—	36,15	23,03	10,85	1,570
Точка 3	—	—	—	62,86	37,14	—	1,693

Как видно из табл. 15, в структуре окружной формы (спектр 1, т. 1) диаметром примерно 3–4 мкм концентрация свинца достигает 14,95 ат. % при наличии около 51,69 ат. % кислорода, что сильно похоже на соединение свинца с кислородом типа  $\text{PbO}_2$ , имеющего температуру разложения примерно 290 °C и не имеющего температуры испарения.

В т. 2 (спектр 2), как видно, имеется на поверхности слой свинца (1,6 ат. %), и отношение концентрации меди и цинка несколько увеличивается в сравнении с т. 1 (спектр 1), а именно  $\text{Cu/Zn} = 1,62$ .

Ясно также, что концентрации меди и цинка, измеренные в т. 3 (рис. 15, б), показывают отсутствие примесей и соответствуют соотношению меди к цинку (1,69 вес.% и 1,74 ат.%) в материале латуни, из которой сделаны сборник и втулка (см. рис. 1, поз. 12 и 8 в [1, 3, 4] соответственно).

На рис. 16 представлены СЭМ-изображения участков с несколькими светлыми пятнами (а) и полусферическими двойными структурами с кольцевой границей вокруг (б), образовавшимися на поверхности латунного сборника, в которых присутствуют элементы с большими атомными номерами. В табл. 16 приведен элементный состав этих пятен. Как видно, в них содержится до 71,87 вес. % свинца. В темной области (спектр 2) обнаружено значительное количество кремния (58,95 вес. %).

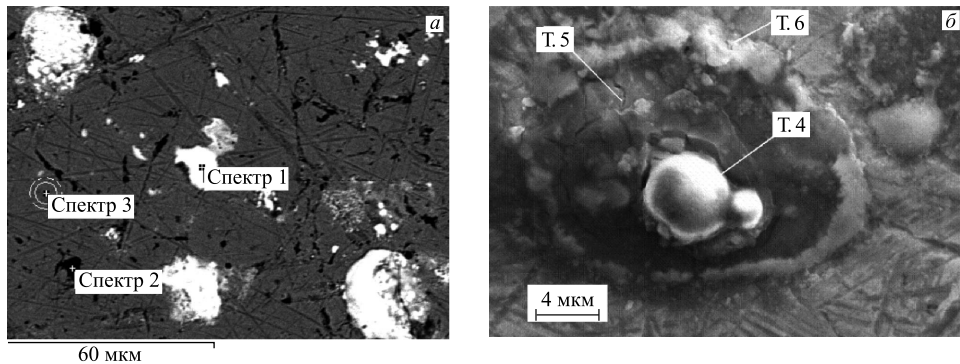


Рис. 16. СЭМ-изображения участков с несколькими светлыми пятнами (а) и полусферическими двойными структурами с кольцевой границей вокруг (б), образовавшимися на поверхности латунного сборника

**Таблица 16. Распределение химических элементов в отмеченных участках и точках на рис. 16 (в вес. %)**

Спектр, точка	$^{12}\text{C}$	$^{16}\text{O}$	$^{28}\text{Si}$	$^{56}\text{Fe}$	$^{63}\text{Cu}$	$^{65}\text{Zn}$	$^{82}\text{Pb}$	$\text{Cu}/\text{Zn}$
Рис. 16, а								
Спектр 1	10,24	14,22	—	—	2,66	1,01	71,87	2,664
Спектр 2	23,7	4,91	58,95	0,78	6,20	3,29	2,16	1,884
Спектр 3	7,93	—	—	—	56,21	35,85	—	1,568
Рис. 16, б								
Точка 4	6,76	19,64	—	—	6,22	—	67,38	—
Точка 5	15,71	12,44	—	—	38,73	23,87	9,25	1,623
Точка 6	4,25	5,89	—	—	21,51	13,64	54,71	1,577

Структура на рис. 16, б имеет вид расположенных примерно в центре двух частиц в виде полусфер, разного размера, вокруг которых имеется круговая область типа кратера и присутствует круговой «брюствер». Концентрация свинца в сферических структурах (т. 4) достигает 14,69 ат. % и кислорода до 55,47 ат. %. Концентрация свинца в кольцевой области вокруг сферических образований (т. 5) составляет 1,44 ат. %, в то время как в области типа «брюствера» (т. 6) величины концентраций свинца и кислорода имеют значения 17,22 и 24,02 ат. %. По виду данной структуры можно сделать вывод, что она была выброшена с поверхности Pd-стержня и распределилась по поверхности сборника, образовав при остывании за счет сил поверхностного натяжения форму полусфер.

На рис. 17, а, б представлены образования, обнаруженные на плоской поверхности латунного сборника, на выделенных участках которых проводился РМЗА.

«Пятно» на рис. 17, а имеет диаметр примерно 47,33 мкм и относительно рыхлую структуру с порами и выступами. В табл. 17 представлен элементный состав в выделенных на рис. 17, а и б обл. 7, 8 и 9.

Из этой таблицы хорошо видно, что атомная концентрация свинца в данных структурах типа найденной крупной частицы длиной 60 мкм (обл. 8) и расплава на поверхности латунного сборника (обл. 9) примерно одинаковая: 13,97 и 13,91 ат. % соответственно. При этом наблюдаются очень высокие концентрации кислорода (41,62 и 43,22 ат. %) и углерода (39,10 и 31,56 ат. %) и низкие концентрации меди (3,04 и 6,01 ат. %) и цинка (2,26 и 5,29 ат. %) соответственно.

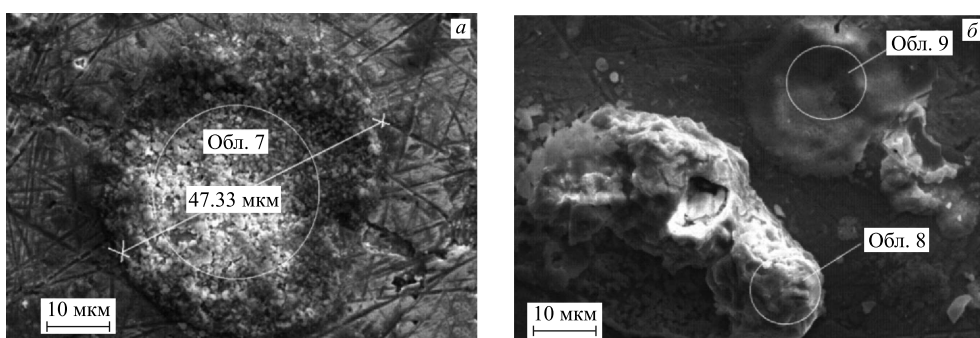


Рис. 17. СЭМ-изображения участка диаметром примерно 47,33 мкм с относительно рыхлой структурой и порами/выступами (а) и крупный объект (б) в центре латунного сборника, с проведением РМЗА в выделенных областях (7, 8 и 9)

Таблица 17. Распределение химических элементов в трех отмеченных на рис. 17, а, б областях

Область, концентрация		$^{6}\text{C}$	$^{8}\text{O}$	$^{29}\text{Cu}$	$^{30}\text{Zn}$	$^{82}\text{Pb}$	Cu/Zn
Рис. 17, а							
Область 7	$C$ , вес. %	10,05	12,17	27,39	18,04	32,35	1,518
	$C$ , ат. %	34,01	30,91	17,52	11,21	6,34	1,563
Рис. 17, б							
Область 8	$C$ , вес. %	10,74	15,23	4,42	3,38	66,22	1,308
	$C$ , ат. %	39,10	41,62	3,04	2,26	13,97	1,345
Область 9	$C$ , вес. %	8,10	14,77	8,16	7,39	61,57	1,035
	$C$ , ат. %	31,56	43,22	6,01	5,29	13,91	1,136

Практически вся поверхность латунного сборника покрыта помимо крупных объектов (см. рис. 18) более мелкими структурами размерами менее 1 мкм и чем-то вроде более мелких нитевидных наростов, которые отчетливо видны при большом увеличении:  $\times 30000$  на рис. 18, а. На рис. 18, б приведены более крупные объекты, на фоне которых присутствуют россыпи мелких структур (сверху и снизу изображения). В табл. 18 дан элементный состав выделенных т. 10 и 11 с учетом реально измеряемой области. Из таблицы видно, что, несмотря на значительную область засветки, концентрация свинца в т. 10 достаточно велика (10,76 ат. %) наряду с высокой концентрацией кислорода (49,89 ат. %).

Как и в вышеупомянутых результатах, в элементных составах структур рис. 18, а и б преобладают в основном: свинец — 10,76 и 14,13 ат. %, кислород — 49,89 и 40,59 ат. % и углерод — 22,27 и 37,75 ат. %.

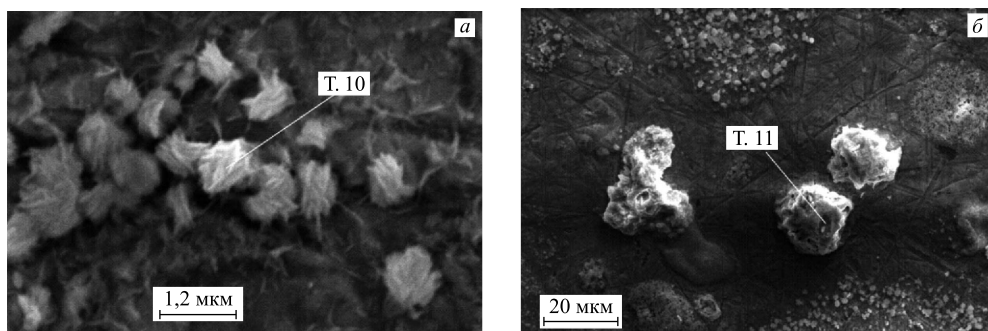


Рис. 18. СЭМ-изображения мелких структур (а), покрытых протяженными нитями, и крупных структур (б) на фоне более мелких на поверхности латунного сборника с выделением точек, в которых проведен ПМЗА (т. 10 и 11)

Таблица 18. Распределение химических элементов в т. 10 и 11 на рис. 18, а, б

Область, концентрация		$^{6}\text{C}$	$^{8}\text{O}$	$^{29}\text{Cu}$	$^{30}\text{Zn}$	$^{82}\text{Pb}$	Cu/Zn
Рис. 18, а							
Область 10	$C$ , вес. %	6,09	18,17	14,54	10,45	50,76	1,391
	$C$ , ат. %	22,27	49,89	10,05	7,02	10,76	1,432
Рис. 18, б							
Область 11	$C$ , вес. %	10,04	14,39	6,55	4,15	64,87	1,578
	$C$ , ат. %	37,75	40,59	4,66	2,86	14,13	1,629

#### 4. ИЗМЕНЕНИЕ МАССЫ Pd-СТЕРЖНЯ ПОСЛЕ ВОЗДЕЙСТВИЯ $\gamma$ -КВАНТОВ

Исходная масса Pd-стержня составляла  $M_{\text{Pd}}^{\text{исх}} = 0,7509$  г. После облучения  $\gamma$ -квантами масса Pd-стержня оказалась равной  $M_{\text{Pd}}^{\text{обл}} = 0,71845$  г. Следовательно, абсолютное изменение массы Pd-стержня составило  $\Delta M_{\text{Pd}} = M_{\text{Pd}}^{\text{исх}} - M_{\text{Pd}}^{\text{обл}} = 0,03245$  г, т. е. относительное изменение массы Pd-стержня равно  $\delta = \frac{M_{\text{Pd}}^{\text{исх}} - M_{\text{Pd}}^{\text{обл}}}{M_{\text{Pd}}^{\text{исх}}} = 4,3\%$ .

Как показали СЭМ-измерения и РМЗА [15], внутренняя поверхность всех конструкций, входящих в DHPC, а именно: входного окна (рис. 1, поз. 4 в [3]), включая присутствующую на нем внешнюю резьбу вплоть до кольца уплотнения для высокого давления (рис. 1, поз. 5 в [3]), внутренних стенок латунной втулки (рис. 1, поз. 8 в [3]) также с внутренней резьбой с обеих ее сторон, Pd-стержня (рис. 1, поз. 9 в [3]), латунного сборника (рис. 1, поз. 12 в [3]) с внешней резьбой на нем — покрыты частицами свинца различных размеров (см. рис. 1 в [1, 3, 4]). Зарегистрированные элементы образуют две группы:

- 1) в диапазоне  $Z = 6-30$  ( $6\text{C}$ ,  $8\text{O}\downarrow$ ,  $\text{Ne}\uparrow$ ,  $11\text{Na}$ ,  $12\text{Mg}$ ,  $13\text{Al}$ ,  $14\text{Si}$ ,  $15\text{P}$ ,  $16\text{S}$ ,  $17\text{Cl}$ ,  $18\text{Ar}\uparrow$ ,  $19\text{K}$ ,  $20\text{Ca}$ ,  $22\text{Ti}$ ,  $24\text{Cr}$ ,  $25\text{Mn}$ ,  $26\text{Fe}$ ,  $29\text{Cu}$ ,  $30\text{Zn}$ );
- 2) тяжелые элементы:  $74\text{W}$ ,  $78\text{Pt}$ ,  $79\text{Au}$ ,  $82\text{Pb}$ .

В этот перечень не входят элементы с  $Z = 31-73$ , которые либо вообще отсутствуют, либо не зарегистрированы.

Если считать, что уменьшение массы Pd-стержня на величину  $\Delta M_{\text{Pd}} = 0,03245$  г обусловлено образованием самого тяжелого и наиболее широко представленного внутри DHPC элемента — свинца, который мог образоваться только в результате прошедших при  $\gamma$ -облучении процессов, то можно сделать максимальную оценку его атомарного количества. *Весовая концентрация свинца вне палладия, но который присутствует и в палладии, составляет в большинстве измерений от 50 до 70 вес. %*. Как известно [17–19], свинец обладает следующими характеристиками: массовой плотностью  $\rho_{\text{Pb}} = 11,350 \text{ г} \cdot \text{см}^{-3}$ ; атомной плотностью  $n_{\text{Pb}} = 3,298 \cdot 10^{22} \text{ ат.} \cdot \text{см}^{-3}$ ; температурой плавления  $T_{\text{пл}}^{\text{Pb}} = 600,65 \text{ К}$ , температурой испарения  $T_{\text{исп}}^{\text{Pb}} = 2013 \text{ К}$ ; мольным объемом  $V_{\text{мол}} = 18,2555 \text{ см}^3$  при атомной массе  $A_{\text{Pb}} = 207,2 \text{ а. е. м.}$

Тогда легко получить, что при занимаемом свинцом суммарном объеме  $V_{\text{Pb}} \approx \frac{\Delta M_{\text{Pb}}}{\rho_{\text{Pb}}} = (0,5-0,7) \cdot 2,86 \cdot 10^{-3} \text{ см}^3$  максимальное количество атомов свинца внутри DHPC будет  $N_{\text{Pb}}^{\text{max}} = V_{\text{Pb}} n_{\text{Pb}} < (4,7-6,6) \cdot 10^{19}$ . При оценке введена поправка на измеренную весовую концентрацию свинца вне палладия. Если учесть, что атомы свинца находятся, видимо, в связанных состояниях, например в виде оксидов, то занимаемый этой фазой объем будет даже больше, чем  $V_{\text{Pb}}$ .

Тем самым эта простая оценка показывает, что при занимаемом соединениями свинца объеме  $V_{\text{Pb}} > (1,4-2,0) \cdot 10^{-3} \text{ см}^3$  максимальное число образовавшихся атомов свинца может достигать макроскопических значений:  $N_{\text{Pb}}^{\text{max}} \propto (4,7-6,6) \cdot 10^{19}!$

#### 5. ЗАКЛЮЧЕНИЕ И ВЫВОДЫ

В отличие от результатов работ [1, 3, 4], в которых была синтезирована новая структура с относительно высоким содержанием рутила, в данной работе при облучении DHPC была использована большая плотность потока  $\gamma$ -квантов (ток электронного пучка увеличен примерно в два раза), суммарное время облучения примерно в три раза больше,

давление молекулярного дейтерия внутри камеры составляло примерно  $\sim 1,2$  кбар. СЭМ-исследования структуры поверхностей всех элементов конструкций, входящих в DHPC (см. также [15, 16]), и изучение их элементного состава с применением РМЗА позволили установить, что основным, вновь образованным химическим элементом в камере облучения (см. рис. 1 в [1, 3, 4]) является свинец. Внутри камеры свинец покрывает: а) входное окно из бериллиевой бронзы (поз. 4), б) обе внутренние поверхности разрезанной латунной втулки (поз. 8), в) самого Pd-стержня (поз. 9), г) разделительной фольги из манганина (поз. 10), д) латунного сборника (поз. 12) [15, 16].

Размеры частиц, состоящих из свинца, оказались значительными — до 20–50 мкм (рис. 17, б 66,22 вес. % и рис. 18, б 64,87 вес. %).

Скорости, с которыми происходит выброс расплавленных кусков свинца с поверхности Pd-стержня, также могут быть существенными, о чем свидетельствует кратер со свинцовым «брюствером» и двумя массивными частицами свинца в центре (см. рис. 16, а).

На поверхности торцевой части, приближенной к латунному сборнику, видны кратеры или выступы с застывшими в них частицами свинца в сплаве с палладием (см. рис. 11, табл. 12, спектр 2 — 62,31 вес. % и рис. 12, б, табл. 13, спектры 1 и 2: 65,53 и 62,59 вес. %).

Свинец покрыл значительным слоем и две половинки разрезной латунной втулки, причем он попал и на те резьбовые части, которые находились в резьбовых соединениях деталей с латунным сборником (см. рис. 1, поз. 12 в [1, 3, 4]) и внутренней поверхностью входного окна из бериллиевой бронзы (см. рис. 1, поз. 4 в [1, 3, 4]) [15, 16]. А это могло произойти только в случае, если соединение свинца (его оксид) находилось в виде пара.

Как известно [17–19], помимо приведенных выше характерных температур, для свинца имеются и другие процессы, которые могли вызвать наблюдаемые эффекты: для оксидов свинца существуют свои температурные интервалы, например, для оксида свинца ( $PbO$ )  $T_{пл}^{PbO} = 886^{\circ}\text{C}$  и  $T_{исп}^{PbO} = 1472^{\circ}\text{C}$ , а для двуокиси свинца ( $PbO_2$ ) нет температуры испарения, но есть температура разложения  $T_{разл}^{PbO_2} = 290^{\circ}\text{C}$ , а для соединения  $Pb_3O_4$   $T_{пл}^{Pb_3O_4} = 830^{\circ}\text{C}$ . Свинец имеет следующие изотопы:  $^{202}_{82}\text{Pb}$  ( $T_{1/2} \approx 3,5 \cdot 10^5$  лет),  $^{204}_{82}\text{Pb}$  ( $T_{1/2} > 3,5 \cdot 10^{17}$  лет (1,4 %)),  $^{205}_{82}\text{Pb}$  ( $T_{1/2} = 1,43 \cdot 10^7$  лет);  $^{206}_{82}\text{Pb}$  (24,1 %),  $^{207}_{82}\text{Pb}$  (22,1%) и  $^{208}_{82}\text{Pb}$  (52,1 %) — стабильные изотопы.

Следует отметить, что измерения ХСРИ показали: свинец находится в окисленном состоянии, поскольку проводимость поверхности, покрытой свинцом, частично обладает диэлектрическими свойствами и заряжается при наборе спектров. Кроме того, в составе этой поверхности присутствует значительное количество кислорода, поэтому, скорее всего, температура повышенной летучести соединений свинца, *возможно*, находится где-то вблизи температуры разложения двуокиси свинца. Но это следует уточнить в следующем эксперименте.

Как надежно установлено при измерениях исходного элементного состава поверхностей всех конструкций, входящих в DHPC, внутри и снаружи свинец отсутствовал, а самым тяжелым элементом был изотоп палладия  $^{110}_{46}\text{Pd}$  (11,72 %).

Остановимся на реакциях, которые бы могли привести к образованию «устойчивых» ядер свинца. Фоторасщепление дейтрона, термоядерные и ядерные реакции деления в дейтерированном металле и плотном молекулярном дейтерии с различными вероятностями процессов под действием  $\gamma$ -квантов с энергией больше энергии связи дейтрона ( $E_{\gamma} > W_d = 2,22$  МэВ) представлены в [1, 3, 6, 7]. Помимо рассмотренных реакций

следует также учесть и атомные процессы, связанные с рассеянием  $\gamma$ -квантов на атомах, такие как комптон-эффект, фотоэффект и рождение пар. Также необходимо принять во внимание и процессы упругого рассеяния  $\gamma$ -квантов на легких ядрах (протонах, дейтронах) с максимально переданной им энергией  $T_{\max} = E_\gamma(1 + Mc^2/E_\gamma)$ , где  $M$  — масса ядра. Тогда при энергии  $\gamma$ -квантов  $E_\gamma = 5$  МэВ имеем  $T_{\max}^p = 26,5$  МэВ и  $T_{\max}^d = 13,6$  МэВ для протона и дейтрана соответственно. Следует отметить, что образование ядер свинца с участием ядер палладия и осколков деления ядер палладия с зарядом осколков более  $Z_{\text{оск}} \geq 36$  в реакциях с дейтранами, протонами и нейtronами невозможно ввиду нарушения закона сохранения энергии. Действительно, дефект масс изотопов свинца изменяется от  $\Delta M = -21,759$  МэВ до  $-25,942$  МэВ для  $^{82}\text{Pb}$ , а дефект масс для ядер палладия варьируется в пределах от  $\Delta M = -88,335$  МэВ до  $-89,913$  МэВ для  $^{46}\text{Pd}$  [19, 20]. Осколки деления ядер палладия для гипотетического образования устойчивых ядер свинца должны иметь заряды ядер  $Z \geq 36$ , а для таких ядер значения дефекта масс на примере ядер криптона будут изменяться в пределах  $\Delta M = -74,150$  МэВ для  $^{78}\text{Kr}$  (0,35 %) до  $\Delta M = -83,263$  МэВ для  $^{86}\text{Kr}$  (17,3 %). Так как минимальное значение дефекта масс для изотопа свинца составляет  $\Delta M = -25,942$  МэВ для  $^{82}\text{Pb}$ , энергия реакции вида  $^{46}\text{Pd} + Z \geq 36 A$  будет значительно меньше  $-100$  МэВ, т. е.  $Q = (\Delta M_{^{46}\text{Pd}} + \Delta M_{Z \geq 36 A}) - (\Delta M_{^{82}\text{Pb}} + \Delta M_B) < -100$  МэВ [19, 20].

Более того, для получения наиболее легкого изотопа свинца  $^{202}\text{Pb}$  с периодом полураспада  $\sim 3 \cdot 10^5$  лет нужен осколок деления с зарядом ядра не менее 36 и массой ядра не менее  $A = 92$  а.е.м. даже при слиянии с самым тяжелым изотопом палладия —  $^{110}\text{Pd}$ , т. е. что-то типа изотопа криптона  $^{92}\text{Kr}$  с относительно большим периодом полураспада 1,85 с.

Исходя из полученных убедительных, с нашей точки зрения, результатов, образование «ядер свинца» в проведенном эксперименте возможно лишь в предположении, что все же ядра палладия как-то взаимодействуют с ядрами типа криптона или более тяжелыми.

*В данной работе предлагается один из возможных гипотетических процессов, который кажется маловероятным, но может осуществляться при выполнении законов сохранения энергии-импульса.* Обсудим кратко этот подход. При взаимодействии иона с ядром при энергии меньше энергии кулоновского отталкивания

$$E_{\text{иона}} < E_{\text{кул}} = \frac{Z_{\text{иона}} Z_{\text{ядра}} e_0^2}{R_{\text{иона}} + R_{\text{ядра}}} \quad (1)$$

могут реализовываться несколько вариантов рассеяния при различных прицельных параметрах  $\rho$  [20]. При касательном соударении, когда  $\rho = R_{\text{иона}} + R_{\text{ядра}}$ , наряду с электромагнитным взаимодействием становится возможным ядерное взаимодействие. При этом параметр сближения  $L_{\text{grazing}}$ , разделяющий чисто электромагнитное взаимодействие от электромагнитного и ядерного, имеет значение

$$L_{\text{grazing}} = \frac{R_{\text{иона}} + R_{\text{ядра}}}{\hbar} \sqrt{2\mu(E - E_{\text{кул}})}, \quad (2)$$

где  $\mu = \frac{M_{\text{иона}} + M_{\text{ядра}}}{M_{\text{иона}} + M_{\text{ядра}}}$  — приведенная масса.

Если два иона с зарядами  $Z_1$  и  $Z_2$  сблизить до расстояния  $\delta$ , удовлетворяющего условию  $R_{\text{ядра}} \ll \delta \ll R_{\text{атома}}$ , где  $R_{\text{атома}}$  — радиус атома, то с точки зрения электронной

оболочки такая система из двух отдельных ядер выглядит как одно ядро с суммарным зарядом  $Z = Z_1 + Z_2$ . Следовательно, в течение короткого времени сближения двух ядер, в принципе, может существовать квазиатом, электронная оболочка которого и характеристическое излучение будут соответствовать квазиядру с зарядом  $Z = Z_1 + Z_2$  [20].

Квазиклассический подход с введением двугорбого ион-ионного потенциала, описывающего резонансное подбарьерное слияние сферических ядер среднего атомного номера (типа  $^{40}\text{Zr} + ^{40}\text{Zr}$ ), был развит в работах [21–23]. Два барьера позволяют сталкивающимся ядрам находиться на малых расстояниях друг от друга длительное время, что делает возможным образование общей электронной оболочки в системе без составного ядра.

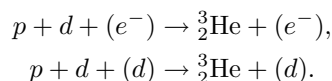
Образование и вращение двойной ядерной системы при глубоконеупругих столкновениях с многонуклонными передачами представлены в монографии [24] (см. также приведенные там ссылки). Такая двойная ядерная система реализуется при больших кинетических энергиях бомбардирующих ионов, что в нашем случае не имеет места.

Тем не менее, несмотря на кажущуюся привлекательность подходов, основанных на образовании квазиатомов с двойными ядрами [20], введение двугорбого ион-ионного потенциала, описывающего резонансное подбарьерное слияние сферических ядер [21–23], остается открытым и совершенно непонятным вопрос о возможных механизмах стабилизации таких систем.

Здесь в качестве возможного механизма приведем результаты по измерению периода полураспада при  $\beta^-$ -распаде атомов с заполненными электронными оболочками и полностью ободранными ядрами. В работах [25–27] представлены две реакции: в частности, для  $^{75}_{75}\text{Re} \xrightarrow{\beta^-, 4,2 \cdot 10^{10} \text{ лет}} ^{76}_{76}\text{Os}$  и для полностью ободранного  $^{75}_{75}\text{Re}^{75+} \xrightarrow{\beta^-, 32,9 \text{ лет}} ^{76}_{76}\text{Os}^{76+}$  период полураспада уменьшился примерно в  $1,3 \cdot 10^9$  раз [25, 26], а стабильный изотоп  $^{66}_{66}\text{Dy}$  с  $Q = -2,565$  кэВ после обтирки стал  $\beta^-$ -радиоактивным:  $^{66}_{66}\text{Dy}^{66+} \xrightarrow{\beta^-, 47 \text{ сут}} ^{67}_{67}\text{Ho}^{67+}$  с  $Q = +50,3$  кэВ [27].

Из имеющихся экспериментальных данных можно сделать вывод, что по крайней мере некоторые  $\beta^-$ -распадающиеся ядра будут стабилизироваться с увеличением времени жизни вплоть до стабильных при захвате электронов до полной нейтрализации иона.

Представляет интерес привести здесь результаты работ [29, 30], в которых рассматриваются ядерные реакции 2-го порядка, так называемая твердотельная внутренняя конверсия, с помощью третьей заряженной частицы (electron or heavy charge particle assisted nuclear processes), такие как:



В этих реакциях энергия возбуждения составного ядра не излучается в виде энергичного  $\gamma$ -кванта с  $E_\gamma \approx Q$ , а возбуждение снимается кинетическими энергиями легкого и более тяжелого продукта реакции. В обзорной работе авторов [29, 30] делается вывод, что если помогающей (assisted) частицей является протон, то в протонно-ассоциированной реакции ядерного захвата создается энергичный протон с энергиями порядка нескольких МэВ, который при его последующих процессах замедления может создавать вторичные свободные протоны, если такие протоны присутствуют в кристалле. Такие вторичные протоны могут принимать дальнейшее участие в протонно-ассоциированных реакциях ядерного синтеза. Таким образом, вторичные протоны могут играть такую же роль, как вторичные нейтроны в случае ядерного деления, создавая цепные реакции деления.

Тем не менее для построения последовательной теории или достоверной гипотезы, объясняющей экспериментальные результаты данной работы, касающиеся обнаружения столь значительных количеств свинца при воздействии  $\gamma$ -квантов, как, впрочем, и результаты работ [1, 3, 4, 6, 7, 11, 15, 16], требуется проведение дополнительных экспериментов.

#### СПИСОК ЛИТЕРАТУРЫ

1. *Didyk A. Yu., Wiśniewski R.* Chemical Composition and Structural Phase Changes of Novel Synthesized Structure and of Pd Sample under  $\gamma$ -Quanta Irradiation in Dense Deuterium Gas // Phys. Part. Nucl. Lett. 2012. V. 9, No. 8. P. 615–631; JINR Preprint E15-2012-34. Dubna, 2012. 26 p.
2. Дидык А. Ю., Вишневский Р., Вилчинска-Китовска Т. Устройство для получения энергии. Патент на полезную модель № 122197 от 21 июня 2012 г.
3. Дидык А. Ю., Вишневский Р. Синтез новых структур в плотном газообразном дейтерии и насыщенным дейтерием палладии при ядерных реакциях, инициированных  $\gamma$ -квантами // Физика и химия обработки материалов. 2012. № 5. С. 5–13; Препринт ОИЯИ Р15-2012-50. Дубна, 2012. 16 с.
4. *Didyk A. Yu., Wiśniewski R.* Nuclear Reactions, Induced by Gamma Quanta, in Palladium Saturated with Deuterium Surrounded by Dense Deuterium Gas // Eur. Phys. Lett. 2012. V. 99. P. 22001-P1–22001-P6.
5. *Oppenheimer J. R., Fillips M.* Note for the Transmission Functions for Deuteron // Phys. Rev. 1935. V. 48, No. 15. P. 500–502.
6. *Didyk A. Yu., Wiśniewski R.* Phenomenological Nuclear-Reaction Description in Deuterium-Saturated Palladium and Synthesized Structure in Dense Deuterium Gas under  $\gamma$ -Quanta Irradiation // Phys. Part. Nucl. Lett. 2013. V. 10, No. 3. P. 437–457; JINR Preprint E15-2012-35. Dubna, 2012. 25 p.
7. Дидык А. Ю., Вишневский Р. Ядерные реакции в насыщенном дейтерием палладии и рении в атмосфере плотного дейтерия при облучении  $\gamma$ -квантами непрерывного спектра с граничной энергией 23 МэВ // Письма в ЭЧАЯ. 2013. Т. 10, № 4(181). С. 613–631; Препринт ОИЯИ Р15-2012-63. Дубна, 2012. 22 с.
8. *Moretto Luciano G.* Statistical Emission of Large Fragments: A General Theoretical Approach // Nucl. Phys. A. 1975. V. 247. P. 211–230.
9. *Sierk A. J.* Mass-Asymmetric Fission of Light Nuclei // Phys. Rev. 1985. V. 55, No. 6. P. 582–583.
10. *Sierk A. J.* Macroscopic Model of Rotating Nuclei // Phys. Rev. C. 1986. V. 33, No. 6. P. 2039–2052.
11. Дидык А. Ю., Вишневский Р. Изменения поверхности, объемных свойств образцов ванадия и нержавеющей стали, облученных в плотном газообразном дейтерии  $\gamma$ -квантами с пороговой энергией 23 МэВ. Препринт ОИЯИ Р15-2012-75. Дубна, 2012. 15 с.; ЖЭТФ. 2013 (в печати).
12. Ишханов Б. С. Радиоактивность. М.: Изд-во Моск. ун-та, 2010.
13. Ишханов Б. С., Капитонов И. М., Юдин Н. П. Частицы и атомные ядра. М.: Изд-во Моск. ун-та, 2007.
14. Ишханов Б. С., Капитонов И. М. Взаимодействие электромагнитного излучения с атомными ядрами. М.: Изд-во Моск. ун-та, 1979. 215 с.
15. Дидык А. Ю., Вишневский Р., Вилчинска-Китовска Т. Изменения структуры поверхности и элементного состава Pd-стержня и сборника продуктов ядерных и химических реакций, облученных 10-МэВ  $\gamma$ -квантами в плотном дейтерии. Препринт ОИЯИ Р15-2013-15. Дубна, 2013. 39 с.
16. Дидык А. Ю., Вишневский Р., Вилчинска-Китовска Т. Изменения свойств поверхности и элементного состава компонентов камеры высокого давления с Pd-стержнем внутри, облученных 10-МэВ  $\gamma$ -квантами в плотном дейтерии. Препринт ОИЯИ Р15-2013-20. Дубна, 2013. 27 с.

17. WebElements. Periodic Tables of the Elements/Rhenium/Crystal Structures.
18. Эмсли Дж. Элементы. М.: Мир, 1993. 162 с.;  
*Emsley J. The Elements*. Oxford: Clarendon Press, 1991.
19. Физические величины: Справ. / Под ред. И. С. Григорьева и Е. З. Мейлихова М.: Энергоатомиздат, 1991. 1233 с.
20. Голашвили Т.В., Чечев В.П., Бадиков С.А. Справочник нуклидов. М.: Изд. дом МЭИ, 2011. 461 с.
21. Мухин К.Н. Экспериментальная ядерная физика. Т. 1: Физика атомного ядра. М.: Энергоатомиздат, 1983. 566 с.
22. Шилов В.М. Подбарьерное слияние сферических ядер среднего атомного номера // ЯФ. 2012. Т. 75, № 4. С. 485–490.
23. Тараканов А.В., Шилов В.М., Шмидт Р. Квазиклассическое описание слияния тяжелых ядер при околобарьерных энергиях // ЯФ. 1991. Т. 53, № 5. С. 1285–1291.
24. Пермяков В.П., Шилов В.М. Подбарьерное слияние сложных ядер // ЭЧАЯ. 1989. Т. 20, вып. 6. С. 1396–1435.
25. Волков В.В. Ядерно-физические исследования с тяжелыми ионами. Избр. работы. Дубна: ОИЯИ, 2012. С. 111–114.
26. Bosch F. et al. Beta Decay of Highly Charged Ions.  
<http://www-ap.gsi.de/research/posters/betadecay/betadecayhcinohtml4entities.html>.
27. Bosch F. et al. Observation of Bound-State  $\beta^-$  Decay of Fully Ionized  $^{187}\text{Re}$ :  $^{187}\text{Re}-^{187}\text{Os}$  Cosmochronometry Decay // Phys. Rev. Lett. 1996. V. 77, No. 26. P. 5190–5193.
28. Jung M. et al. First Observation of Bound-State  $\beta^-$  Decay // Phys. Rev. Lett. 1992. V. 69, No. 15. P. 2164–2167.
29. Kálmán P., Keszthelyi T. Solid State Internal Conversion // Phys. Rev. C. 2004. V. 69. P. 031606-1–031606-3.
30. Kálmán P., Keszthelyi T. Lattice Effect in Solid State Internal Conversion // Phys. Rev. C. 2009. V. 79. P. P031602-1–031606-4.

Получено 25 марта 2013 г.